

<b>Zeitschrift:</b>	Bulletin des Schweizerischen Elektrotechnischen Vereins, des Verbandes Schweizerischer Elektrizitätsunternehmen = Bulletin de l'Association suisse des électriciens, de l'Association des entreprises électriques suisses
<b>Herausgeber:</b>	Schweizerischer Elektrotechnischer Verein ; Verband Schweizerischer Elektrizitätsunternehmen
<b>Band:</b>	80 (1989)
<b>Heft:</b>	23
<b>Artikel:</b>	Sensorlose Heisspunkt-Temperaturüberwachung elektrischer Antriebe mittels selbstlernenden Mikrorechnersystems
<b>Autor:</b>	Gutt, Hans-Joachim
<b>DOI:</b>	<a href="https://doi.org/10.5169/seals-903746">https://doi.org/10.5169/seals-903746</a>

### Nutzungsbedingungen

Die ETH-Bibliothek ist die Anbieterin der digitalisierten Zeitschriften auf E-Periodica. Sie besitzt keine Urheberrechte an den Zeitschriften und ist nicht verantwortlich für deren Inhalte. Die Rechte liegen in der Regel bei den Herausgebern beziehungsweise den externen Rechteinhabern. Das Veröffentlichen von Bildern in Print- und Online-Publikationen sowie auf Social Media-Kanälen oder Webseiten ist nur mit vorheriger Genehmigung der Rechteinhaber erlaubt. [Mehr erfahren](#)

### Conditions d'utilisation

L'ETH Library est le fournisseur des revues numérisées. Elle ne détient aucun droit d'auteur sur les revues et n'est pas responsable de leur contenu. En règle générale, les droits sont détenus par les éditeurs ou les détenteurs de droits externes. La reproduction d'images dans des publications imprimées ou en ligne ainsi que sur des canaux de médias sociaux ou des sites web n'est autorisée qu'avec l'accord préalable des détenteurs des droits. [En savoir plus](#)

### Terms of use

The ETH Library is the provider of the digitised journals. It does not own any copyrights to the journals and is not responsible for their content. The rights usually lie with the publishers or the external rights holders. Publishing images in print and online publications, as well as on social media channels or websites, is only permitted with the prior consent of the rights holders. [Find out more](#)

**Download PDF:** 23.02.2026

**ETH-Bibliothek Zürich, E-Periodica, <https://www.e-periodica.ch>**

# **Sensorlose Heisspunkt-Temperatur-überwachung- elektrischer Antriebe mittels selbstlernenden Mikrorechnersystems**

Hans-Joachim Gutt

**Die Fortschritte auf dem Gebiet der Mikrorechner eröffnen bislang ungeahnte Möglichkeiten auch bezüglich neuer Anwendungen für elektrische Antriebe: Als Beispiel wird ein Heisspunkt-Temperatur-Überwachungssystem ohne in die Maschine eingebaute Thermofühler beschrieben, das die aktuellen Temperaturen mittels eines selbstlernenden Mikrorechnersystems lediglich aus den Zuleitungsströmen und -spannungen sowie der Kühlmitteltemperatur errechnet.**

**Les progrès réalisés dans le domaine des micro-ordinateurs ouvrent des possibilités d'applications jusqu'ici inconnues dans le domaine des entraînements électriques. Cela est montré à l'exemple d'une surveillance thermométrique des points chauds ne nécessitant pas de sondes incorporées dans la machine, où un système à micro-calculateur auto-adaptatif calcule la température actuelle des points chauds à partir des grandeurs courant et tension mesurées aux bornes et de la température du fluide réfrigérant.**

Dieser Beitrag ist Herrn Prof. Dr.-Ing. Dr. techn. E. h. Adolf Leonhard zu seinem 90. Geburtstag am 18.12.1989 gewidmet, dessen langjährige Tätigkeit auf dem Gebiet der Antriebstechnik an der seinerzeit noch Technischen Hochschule Stuttgart der Autor heute fortführt.

## **Adresse des Autors:**

Prof. Dr.-Ing. Hans-Joachim Gutt, Direktor des Instituts für Elektrische Maschinen und Antriebe, Universität Stuttgart, D-7000 Stuttgart 70

Es bestehen feste physikalische Zusammenhänge für die Umwandlung elektrischer in mechanische Energie [1], auch über die dabei auftretenden räumlichen und zeitlichen Verteilungen und Verläufe von magnetischen Größen, Strömen, Kräften und Momenten sowie Verlusten und auftretenden Heisspunkten in den elektromechanischen Energiewandlern. Diese Zusammenhänge sind jedoch so komplex, im Detailvorgang bei Berechnungen mit hohen Genauigkeitsanforderungen behaftet und oft über grössere Zeiträume sich erstreckend, dass sie mit den bislang verfügbaren analogen Methoden [2] technisch-wirtschaftlich nicht beherrschbar waren. Die Fortschritte auf dem Gebiet der Mikrorechnertechnik gestatten jedoch heute eine genügend genaue und hinreichend schnelle Bearbeitung derart komplexer Zusammenhänge bei erschwinglichem und vertretbarem Kostenaufwand. Hierdurch eröffnen sich völlig neuartige Möglichkeiten, die zuvor nicht in Betracht zu ziehen waren: Kleinere kostengünstige Rechner wiesen seinerzeit nicht die notwendigen Rechengeschwindigkeiten auf, und grössere, schnellere Rechner waren zu aufwendig und zu teuer. Diese bislang ungeahnten neuen Möglichkeiten, (siehe z.B. [3]), die erst an ihrem Anfang ihrer Entwicklung stehen und daher noch lange nicht ausgeschöpft sind, sollen anhand des folgenden Beispiels erläutert werden.

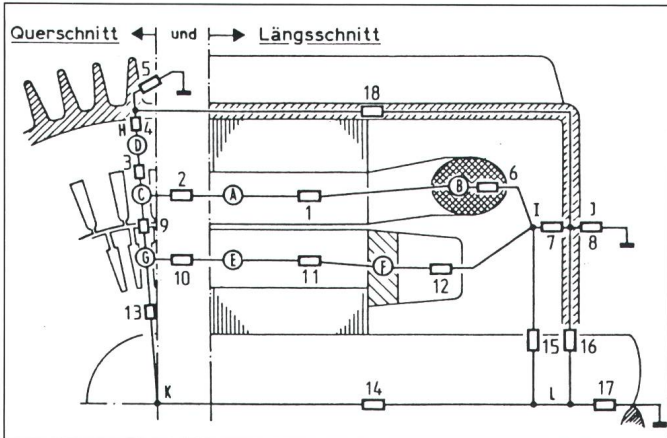
## **Betriebliche Heisspunkt-Temperaturüberwachung ohne eingebaute Thermofühler**

### **Problemstellung**

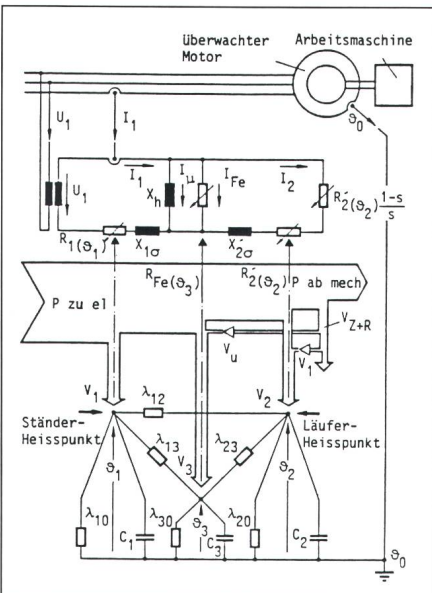
Im Verlauf automatisierter Produktionsprozesse ist es ausserordentlich wichtig, dass einzelne Antriebskompo-

nenten während eines oft sehr komplexen Produktionszyklus nicht ausfallen oder zur Verhinderung eines Schadens nicht abgeschaltet werden müssen. Einen Extremfall stellen die höchstzulässigen Festbremszeiten  $t_E$  [4a, 4b] von Drehstromkäfigläufermotoren in zudem noch explosionsgefährdeter Umgebung dar, während denen trotz relativ schneller Temperaturanstiege bestimmte Temperaturgrenzwerte nicht überschritten werden dürfen. Die daraus resultierenden Festbremszeiten  $t_E$  bei blockiertem Läufer liegen in der Grössenordnung von weniger als einer Minute. Sie müssen jedoch mindestens fünf Sekunden betragen. Figur 1 gibt eine quasi-drei-dimensionale Darstellung der in einer elektrischen Maschine auftretenden Verlustquellen A bis L und die sie bis zum Kühlmedium verbindenden Wärmeleitfähigkeiten 1 bis 18. Diese Darstellung trifft – bereits stark vereinfacht – aufrippengekühlte Drehstromsynchrongmaschinen mit Käfigläufern für den stationären eingeschwungenen Betriebszustand zu. Für zeitlich veränderliche Vorgänge ist dieses thermische Ersatzschaltbild durch Wärmekapazitäten zu ergänzen (vgl. Figur 2).

Da der Ort des Auftretens der Heisspunkttemperatur je nach Betriebsart, d.h. der Art der Verlustverteilung innerhalb der Maschine, des Kühlungszustandes sowie des zeitlichen Lastverlaufs wechselt, wurden bislang mitunter an mehreren thermisch kritischen Stellen der Maschine Temperaturfühler eingebaut und mit ständigen Überwachungseinrichtungen ausserhalb der zu überwachenden Maschine verbunden. Diese Verbindungen sind jedoch – vor allem, wenn der Standort der Maschine öfter gewechselt werden muss – sehr störanfällig und nach einmaligem Ausfall irreparabel. Ziel dieser Entwicklung ist die digitale Auswertung der Klemmengrössen Spannung, Strom und Phasenwinkel und



Der Übersichtlichkeit halber sind die Wärmekapazitäten weggelassen; Figur 1 gilt nur für thermisch eingeschwungene Zustände.  
Die in der Maschine auftretenden Verluste wurden in den Knotenpunkten A...L konzentriert («Verlustquellen», siehe Tabelle I).  
Für das stationäre thermische Verhalten von Bedeutung sind die «konzentrierten» Wärmeleitwerte 1...18 (siehe Tabelle I).



**Figur 2** Verlustleistungs- und Temperaturermittlung mittels elektrischen und thermischen Ersatzschaltbildes

daraus die laufende Ermittlung und Überwachung der Heisspunkttemperatur des Maschineninneren ohne in die Maschine eingebaute Thermoführer.

## Lösungskonzept

Das Konzept für die Programmierung der Mikrorechner zeigt Figur 2 in vier übereinander angeordneten Ebenen. In der obersten Teildarstellung sind die Motorzuleitungen mit den benötigten Messgrößen Spannung und Strom, der zu überwachende Motor

	Thermisches Ersatzschaltbild
$\vartheta_0$	Umgebungstemperatur
$\vartheta_1$	Temperatur des Ständer-Heisspunktes
$\vartheta_2$	Temperatur des Läufer-Heisspunktes
$\vartheta_3$	Temperatur des Ständerjochs
$V_1$	zusammengefasste Ständerwicklungverluste
$V_2$	zusammengefasste Läuferverluste
$\lambda_{ij}$	zusammengefasste Ständereisenverluste resultierender Wärmeleitwert aller Wärmeleitwertkombinationen zwischen Knoten i und j; Knoten: Kühlluft/Umgebung ( $j = 0$ ), Ständerwicklung ( $i = 1$ ), Läufer ( $i, j = 2$ ), Ständerjoch ( $i, j = 3$ )
$C_i$	resultierende Wärmekapazität zwischen Knoten i und der Kühlluft; Knoten: Ständerwicklung ( $i = 1$ ), Läufer ( $i = 2$ ), Ständerjoch ( $i = 3$ )
	Elektrisches Ersatzschaltbild
$U_1, I_1$	Messwerte von Spannung und Strom nach Betrag und Phasenlage
$U_h, I_2$	Zeigergrößen gemäß Figur 3 und Text
$\bar{U}_2$	Schlupf
$R_i, R'_i$	temperaturabhängige Widerstände (siehe Text), übrige Größen: siehe Text

selbst und die anzutreibende Arbeitsmaschine dargestellt. Als einzige Rückführungsgröße während des Betriebes dient die Umgebungstemperatur  $\vartheta_0$ , die der Kühlmitteltemperatur entspricht. Sie lässt sich aber auch aus der Temperatur am Motorgehäuse oder an anderen leicht zugänglichen und leicht reparablen Temperaturmessstellen fortlaufend ermitteln.

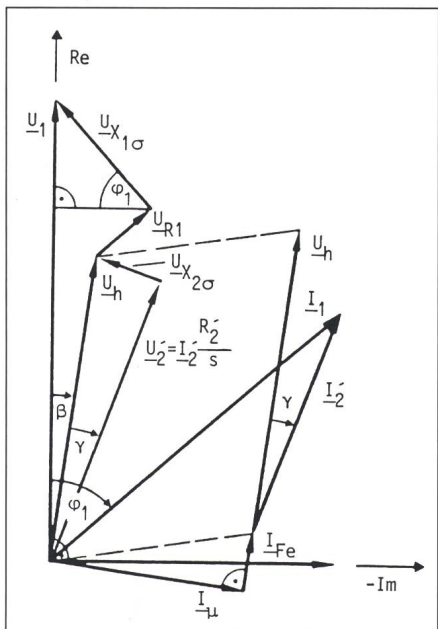
**Tabelle I** Verlustquellen und Wärmeleitwerte in thermischem Ersatzschaltbild gemäß Figur 1

**Figur 1**  
Thermisches  
Ersatzschaltbild  
eines  
oberflächengekühlten  
Drehstromkäfig-  
läufermotors

	Verlustquellen	
A	Ständernut-Wicklungs-Verluste	Ständerkupfer-Verluste $V_1$ in Figur 2
B	Ständer-Wickelkopf-Verluste	
C	Ständerzahn-Eisenverluste	Ständerreisenverluste $V_3$ in Figur 2
D	Ständerjoch-Eisenverluste	
E	Läuferkäfig-Stabverluste	Läuferverluste $V_2$ (Index 2 für Läufer)
F	Läuferkäfig-Ringverluste	
G	Läuferzahn-Eisenverluste	
H	Ständergehäuseverluste	
I	Reibungsverluste im Gehäuseinnern	Im folgenden nicht mehr berücksichtigte Verluste, da hier vernachlässigbar
J	Reibungsverluste durch Aussenlüfter	
K	Über Kupplung/Welle einfallende Verluste	
L	Lagerreibung-verluste	
		Wärmeleitwerte»
1	Ständernut-Längsleitwert der Wicklung (Kupfer)	
2	Ständernut-Querleitwert	
3	Ständerzahn-Leitwert (Eisen)	
4	Ständerjoch-Leitwert einschliesslich Übergang Blechpaket-Gehäuse	
5	Leitwert des Übergangs Gehäuserippen-Aussenluft	
6	Leitwert des Übergangs Wickelkopf-Innenluft	
7	Längsleitwert der Luft zwischen Wickelköpfen und Gehäuse	
8	Übergangs-Leitwert vom Gehäuse zur Aussenluft	
9	Übergangs-Leitwert vom Läufer über Luftspalt zum Ständerblechpaket	
10	Läuferquerleitwert vom Käfigstab zum Läuferzahn	
11	Längsleitwert des Läuferstabes	
12	Längsleitwert vom Läuferring zur Innenluft	
13	Läuferjochleitwert einschliesslich Übergang zur Welle	
14	Längsleitwert der Welle innerhalb des Gehäuses	
15	Übergangsleitwert Welle-Innenluft	
16	Übergangsleitwert Gehäuse-Welle	
17	Längsleitwert der Welle ausserhalb des Gehäuses	
18	Längsleitwert Gehäuse	

## Verlustsimulation

Der Lösungsansatz nach Figur 2 benutzt als erstes das herkömmliche einsträngige Ersatzschaltbild der Drehstromasynchronmaschine zur Verlustermittlung, wie in der zweiten Horizontalebene dieser Figur dargestellt ist. Dabei ist zunächst die Kenntnis der einzelnen Widerstände vorausgesetzt. Sie brauchen jedoch nicht für jede zu schützende Maschine im voraus bekannt zu sein, sondern werden in einem Selbstlernprozess automatisch ermittelt, wie später erläutert wird. Damit ist es möglich, ohne Drehmoment- oder Schlupfmessungen jederzeit den aktuellen Belastungszustand sowie die Leistungsaufteilung – in der dritten Ebene der Figur 2 ange deutet – lediglich aus den jeweiligen Messwerten von Spannung  $U_1$  und Strom  $I_1$  nach Betrag und Phasenlage zu berechnen. Die bekannten Zusammenhänge zur Bestimmung der übrigen Zeigergrößen  $U_h$  für die Eisenverluste,  $I_2$  sowie des Schlupfes  $s$  aus der Zeigergrösse  $U_2$  für die Läuferverlustberechnung sind im Zeitzeigerdiagramm der Figur 3 veranschaulicht.



Figur 3 Zeitzeigerdiagramm des Motorbetriebs

Die Rückführung der aktuellen Temperaturen  $\vartheta_o$ ,  $\vartheta_1$ ,  $\vartheta_2$ ,  $\vartheta_3$ , die aus den zuvor ermittelten Verlustleistungen mit Hilfe des thermischen Ersatzschaltbildes (in Figur 2 unten) berechnet wurden, in die temperaturabhängigen Widerstände  $R_I$ ,  $R'_2$  und  $R_{Fe}$  des

(in Figur 2 oben dargestellten) elektrischen Ersatzschaltbildes ist in Figur 2 durch die strichpunkteten senkrecht nach oben führenden Linien angedeutet:

$$R_I(\vartheta_I) = R_I(\vartheta_o)[1 + \alpha_I(\vartheta_{Im} - \vartheta_o)] \quad (1)$$

Die Ermittlung der mittleren Wicklungsübertemperatur  $\vartheta_{Im}$  aus der Heisspunktübertemperatur  $\vartheta_I$  der Ständerwicklung erfolgt im Verlauf des im nächsten Abschnitt beschriebenen selbstlernenden Prozesses. Damit berechnen sich die Ständerwicklungsverluste

$$V_I = 3 I_1^2 R_I(\vartheta_I) \quad (2)$$

Eine Kontrollrechnung [5] ergab, dass die Ständerstromverdrängungseinflüsse sowie die Einflüsse üblicher Stromunsymmetrien auf die Verluste  $V_I$  vernachlässigt werden können.

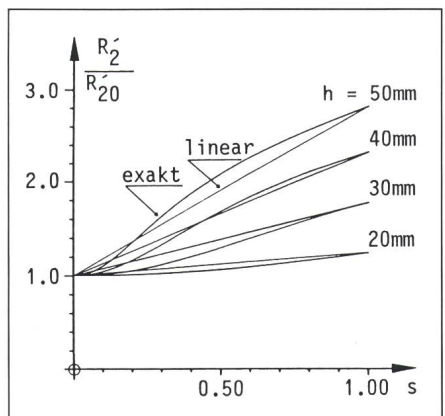
Während der Einfluss der Läufertemperaturen  $\vartheta_2$  auf  $R'_2$  analog zur Gleichung (1) der Ständerwicklung berücksichtigt wird, ist vor allem bei Läuferstillstand der Einfluss der Stromverdrängung – nach genauen Berechnungen in Figur 4 dargestellt – nicht mehr vernachlässigbar. Mit Hilfe der in Figur 4 vorgenommenen Linearisierung der Schlupfabhängigkeit der Stromverdrängungsfaktoren lassen sich diese ebenfalls im Selbstlernprozess ermitteln. Ausser den Läuferwicklungsverlusten enthalten die Läuferverluste noch einen Verlustanteil, der durch Flusspulsationen des Hauptflusses erzeugt wird, und damit dem Quadrat der induzierten Ständerspannung  $U_h$  proportional ist [3]:

$$V_2 = 3 I_2'^2 R'_2(\vartheta_2) + k_2 U_h^2 \quad (3)$$

Der Faktor  $k_2$  wird ebenfalls im Selbstlernprozess gewonnen, ebenso die Abhängigkeit der gesamten Ummagnetisierungsverluste  $V_U = 3 U_h I_{Fe}$ , repräsentiert durch den Eisenverluststrom  $I_{Fe} = f(U_h^2)$ . Zur Berechnung der Ständereisenverluste ist von  $V_U$  der bereits in Gleichung (3) berücksichtigte Läuferpulsationsanteil  $k_2 U_h^2$  zu subtrahieren. Dafür addieren sich die ständerstromabhängigen Oberflächen- und Pulsationsverluste  $V_I = k_3 I_1^2$ , die ebenso wie zuvor die spannungsabhängigen Zusatzverluste  $V_U$  aus der mechanisch vom Rotor erzeugten Leistung gedeckt werden müssen (vgl. hierzu das Leistungsdiagramm in der dritten Horizontalebene der Figur 2).

Damit berechnet sich die Verlustleistung  $V_3$  zu

$$V_3 = 3 U_h I_{Fe} - k_2 U_h^2 + k_3 I_1^2 \quad (4)$$



Figur 4 Linearisierung der Stromverdrängung im Läuferstab über dem Schlupf  $s$

$R'_2$	ständerbzogener Läuferwicklungswiderstand mit Stromverdrängung
$R'_{20}$	ständerbzogener Läuferwicklungswiderstand ohne Stromverdrängung
$h$	Läuferleiterhöhe

## Temperatursimulation

Analog zur Verlustermittlung mittels des elektrischen Ersatzschaltbildes erfolgt die Temperaturberechnung mit Hilfe des thermischen Ersatzschaltbildes, welches in Figur 2 unten dargestellt ist. Als Eingangsgrößen dienen die zuvor berechneten Verlustleistungen  $V_I$ ,  $V_2$ ,  $V_3$  aus den Gleichungen (2) bis (4). Das Zusammenfassen der ursprünglich 18 Wärmewiderstände zu 4 Wärmewiderständen oder -leitwerten erfolgte nach der üblichen Netzwerktheorie. Diese Vereinfachung war notwendig, um die eindeutige Bestimmung dieser Größen aus automatisierten Lernprozessen sicherzustellen. Das zugehörige Differentialgleichungssystem lautet in Matrizenform

$$\begin{bmatrix} V_1 \\ V_2 \\ V_3 \end{bmatrix} = \begin{bmatrix} \lambda_A - \lambda_{12} - \lambda_{13} - \lambda_{10} \\ -\lambda_{20} \lambda_B - \lambda_{23} - \lambda_{20} \\ -\lambda_{13} - \lambda_{23} \lambda_C - \lambda_{30} \end{bmatrix} \cdot \begin{bmatrix} \vartheta_1 \\ \vartheta_2 \\ \vartheta_3 \\ \vartheta_0 \end{bmatrix} \quad (5)$$

$$\text{mit } \lambda_A = \lambda_{10} + \lambda_{12} + \lambda_{13} + C_1 \frac{d}{dt} \quad (5.1)$$

$$\lambda_B = \lambda_{20} + \lambda_{12} + \lambda_{23} + C_2 \frac{d}{dt} \quad (5.2)$$

$$\text{und } \lambda_C = \lambda_{30} + \lambda_{13} + \lambda_{23} + C_3 \frac{d}{dt} \quad (5.3)$$

Die exakte Lösung mit Hilfe der Laplace-Transformation erfordert viel

Rechenleistung und -zeit. Setzt man voraus, dass sich die Verlustleistungen  $V_1, V_2, V_3$  und die Umgebungstemperatur  $\vartheta_0$  während des betrachteten Zeitabschnittes  $\Delta t$  nicht ändern, lässt sich mit der folgenden Näherungslösung die Anzahl der im Echtzeitbetrieb pro Zeitintervall  $\Delta t$  auszuführenden Rechenoperationen deutlich verringern. Die Näherungslösung ist in Matrizen-schreibweise

$$\vartheta = \vartheta^* + \Delta t \cdot \tilde{C} \cdot (V - \Lambda \vartheta^*) \quad (6)$$

Hierbei beschreibt  $\vartheta^*$  die Anfangs- und  $\vartheta$  die Endtemperaturen für das zu berechnende Zeitintervall  $\Delta t$ .

$$\vartheta^* = \begin{bmatrix} \vartheta_1^* \\ \vartheta_2^* \\ \vartheta_3^* \\ \vartheta_0^* \end{bmatrix} \quad (6.1) \quad \vartheta = \begin{bmatrix} \vartheta_1 \\ \vartheta_2 \\ \vartheta_3 \\ \vartheta_0 \end{bmatrix} \quad (6.2)$$

Die Verlustleistung wird beschrieben durch

$$V = \begin{bmatrix} V_1 \\ V_2 \\ V_3 \end{bmatrix} \quad (6.3)$$

Die Matrix der inversen Kapazitäten lautet

$$\tilde{C} = \begin{bmatrix} \frac{1}{C_1} & 0 & 0 \\ 0 & \frac{1}{C_2} & 0 \\ 0 & 0 & \frac{1}{C_3} \end{bmatrix} \quad (6.4)$$

Die Leitwertmatrix lautet

$$\Lambda = \begin{bmatrix} \lambda_D - \lambda_{12} & \lambda_{13} - \lambda_{10} \\ -\lambda_{42} & \lambda_E - \lambda_{23} - \lambda_{20} \\ -\lambda_{13} - \lambda_{23} & \lambda_F - \lambda_{30} \end{bmatrix} \quad (6.5)$$

$$\text{mit } \lambda_D = \lambda_{10} + \lambda_{12} + \lambda_{13} \quad (6.6)$$

$$\lambda_E = \lambda_{20} + \lambda_{12} + \lambda_{23} \quad (6.7)$$

$$\text{und } \lambda_F = \lambda_{30} + \lambda_{13} + \lambda_{23} \quad (6.8)$$

Die Näherungsmatrix  $N$  in Gleichung (6) umfasst drei Stufen:

$$N = E - F + G - H \quad (6.9)$$

mit der Einheitsmatrix  $E$   
[Euler-Cauchy]

$$-F = \frac{\Delta t}{2} (\Lambda \tilde{C}) \quad (6.10)$$

$$+G = \frac{\Delta t^2}{6} (\Lambda \tilde{C})^2 \text{ (Heun)} \quad (6.11)$$

$$-H = \frac{\Delta t^3}{24} (\Lambda \tilde{C})^3 \text{ (Runge-Kutta)} \quad (6.12)$$

Eine Fehlerabschätzung [5] zeigt, dass das Streckenzugverfahren nach Euler-Cauchy im vorliegenden Fall völlig ausreichende Genauigkeit besitzt, wenn für den Zeitintervall  $\Delta t = 0,5$  s im Hinblick auf die Mindestfestsbremszeiten  $t_E(\min) = 5$  s gewählt wird. In diesem Fall kann für die Näherungsmatrix  $N$  die Einheitsmatrix  $E$  eingesetzt werden. Andernfalls kann die Matrix  $N$  bereits während des Selbstlernprozesses eindeutig bestimmt werden:

$$N = E - F \quad \text{nach Heun}$$

$$N = E - F + G - H \quad \text{nach Runge-Kutta}$$

## Erweiterung auf zwei getrennte Ständerwicklungen

Die vorstehend beschriebene Temperatur-Simulationsmethode kann leicht auch auf polumschaltbare Motoren mit zwei getrennten Ständerwicklungen erweitert werden. Da jeweils nur eine der beiden Wicklungen *aktiv*, d.h. stromführend sein kann, gibt es daneben stets eine *passive*, d.h. stromlose Wicklung; die beiden Wicklungen vertauschen bei der Polumschaltung lediglich ihre Rollen. In Figur 5 wurde deshalb zusätzlich ein vierter Knoten mit einem zusätzlichen Wärmeleitwert  $\lambda_{34}$  und einer zusätzlichen Wärmekapazität  $C_4$  aufgenommen.

Alle übrigen Knoten bleiben die gleichen wie im bisherigen Wärmequellennetz nach Figur 2 unten. Die analytische Temperaturberechnung mit dem vorstehend erläuterten Näherungsverfahren nach Euler-Cauchy ergibt die folgenden Endtemperaturen am Ende des Zeitintervalls  $\Delta t$ :

$$\vartheta_1 = \vartheta_1^* + \frac{\Delta t}{C_1} \cdot [V_1 - \lambda_{10} \cdot (\vartheta_1^* - \vartheta_0) - \lambda_{14} \cdot (\vartheta_1^* - \vartheta_4)] \quad (7)$$

$$\vartheta_2 = \vartheta_2^* + \frac{\Delta t}{C_2} \cdot [V_2 - \lambda_{20} \cdot (\vartheta_2^* - \vartheta_0) - \lambda_{23} \cdot (\vartheta_2^* - \vartheta_3)] \quad (8)$$

$$\vartheta_3 = \vartheta_3^* + \frac{\Delta t}{C_3} \cdot [V_3 - \lambda_{30} \cdot (\vartheta_3^* - \vartheta_0) + \lambda_{34} \cdot (\vartheta_4^* - \vartheta_3^*) + \lambda_{23} \cdot (\vartheta_2^* - \vartheta_3^*)] \quad (9)$$

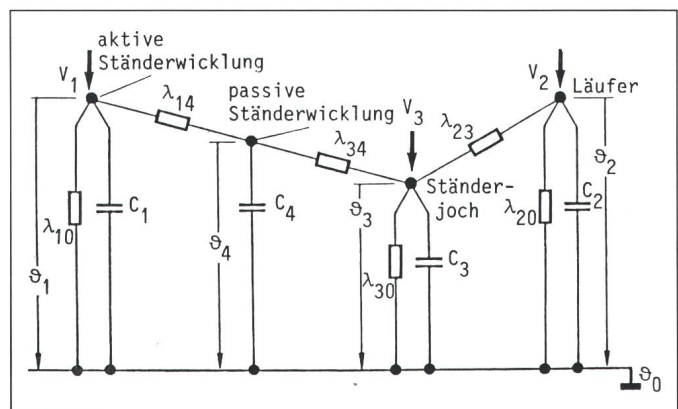
$$\vartheta_4 = \vartheta_4^* + \frac{\Delta t}{C_4} \cdot [\lambda_{14} \cdot (\vartheta_1^* - \vartheta_4) - \lambda_{34} \cdot (\vartheta_4^* - \vartheta_3^*)] \quad (10)$$

Hierbei sind  $\vartheta_1^*, \vartheta_2^*, \vartheta_3^*$  und  $\vartheta_4^*$  wiederum die jeweiligen Wicklungstemperaturen zu Beginn des zu berechnenden Zeitintervalls  $\Delta t$ .

## Selbsttätige Parameterbestimmung

Die Bedeutung des vorstehend beschriebenen *sensorlosen* Temperaturüberwachungssystems wäre gering, wenn für jede zu überwachende Maschine alle Parameter des elektrischen und thermischen Ersatzschaltbildes

**Figur 5**  
Wärmequellennetz  
für  
Zweiwicklungsmotor



$\vartheta_1$	Temperatur der aktiven Ständerwicklung
$\vartheta_4$	Temperatur der passiven Ständerwicklung
$\lambda_{14}, \lambda_{34}$	resultierende Wärmeleitwerte zwischen passiver Ständerwicklung und aktiver Ständerwicklung bzw. Ständerjoch
$C_3, C_4$	resultierende Wärmekapazitäten zwischen aktiver bzw. passiver Ständerwicklung und der Kühlluft
	übrige Größen wie in Figur 2

mühsam ermittelt und in das Mikrorechnersystem eingegeben werden müssten. Den Kernpunkt des neu entwickelten Überwachungssystems bildet daher nicht so sehr die elektrische und thermische Simulation, sondern vielmehr die neuartige selbsttätige Parameterbestimmung. Wichtig ist, dass diese automatischen Selbstlernprozesse nicht im Prüffeld, sondern vor Ort im endgültigen Zusammenbau mit der Arbeitsmaschine, d.h. ohne Drehmomentmessung usw., erfolgen.

### Elektrische Ersatzgrößen

Die Ermittlung der Daten des elektrischen Ersatzschaltbildes ist verhältnismäig einfach. Aus dem Kurzschlussversuch bei stillstehendem Läufer sind  $R_K = R_1 + R'_2$  und  $X_K = X_{1\sigma} + X'_{2\sigma}$  bekannt, ebenso  $R_1$  aus der üblichen Ständerwiderstandsmessung und damit auch  $R'_2$ . Die Streublindwiderstände  $X_{1\sigma}$  und  $X'_{2\sigma}$  gewinnt man in genügend guter Näherung aus der hälftigen Aufteilung von  $X_K$ . Damit liefert der Leerlaufversuch  $X_h = X_1 - X_{1\sigma}$ . Die Trennung der Leerlaufverluste  $V_o$  in Eisen- und Reibungsverluste erfolgt in bekannter Weise aufgrund der quadratischen Abhängigkeit von  $V_{Fe} = f(U_h^2)$  durch Variation der Klemmenspannung und damit von  $U_h$ . Der Einfluss der Stromverdrängung im Läufer (vgl. Figur 4) ergibt sich aus beliebigen, allein durch den normalen Betrieb der Arbeitsmaschine sich einstellenden Belastungsfällen zwischen Leerlauf und Stillstand, die ohnehin für die folgende automatische Ermittlung der Größen des thermischen Ersatzschaltbildes erforderlich sind.

### Automatische Bestimmung der thermischen Ersatzgrößen

Bei eigenbelüfteten Maschinen sind zwei grundverschiedene Parametersätze zu unterscheiden, nämlich erstens jenen für den eingeschalteten, zwischen Leerlauf- und Kippdrehzahl laufenden Motor und zweitens jenen für die abgeschaltete, stillstehende Maschine. Bei polumschaltbaren Motoren kommt ein dritter Parametersatz hinzu, der durch das Einschalten des hochpoligen Wicklungsteils bestimmt und entsprechend selbsttätig angewählt wird. Diese Unterscheidungen beziehen sich jedoch nur auf die Wärmewiderstände oder -leitwerte. Die Werte der Wärmekapazitäten werden dabei nicht verändert. Genaugenommen müssten in der Berechnung die

Wärmewiderstände beim Lauf zwischen Kippdrehzahl und Stillstand kontinuierlich verändert werden. Hierauf kann jedoch verzichtet werden, da bei abgeschalteter Maschine und längerem Auslauf die nach Abschaltung für stillstehende Maschinen gerechneten Temperaturen bezüglich ihrer Überwachung auf der sicheren Seite liegen. Anderseits sind bei festgebremstem oder im Schweranlauf betriebem Motor wegen der ein bis zwei Zehnerpotenzen höheren Ständer- und Läuferverluste gegenüber Nennbetrieb die Temperaturanstiege zunächst adiabatisch zu berechnen. Anschliessend werden die Wärmekapazitäten massgebend. Der Einfluss der drehzahlabhängigen Wärmewiderstände ist demgegenüber vernachlässigbar.

Zur Bestimmung der Wärmekapazitäten und Wärmewiderstände ist die Maschine – sofern ihre Daten nicht von ähnlichen Ausführungen her bekannt sind – lediglich für den Lernlauf mit vier Thermofühlern zur Erfassung der Verläufe von  $\vartheta_1$ ,  $\vartheta_2$ ,  $\vartheta_3$  und  $\vartheta_o$  während beliebiger Lastspiele auszustatten. Bei integraler Schreibweise der Gleichung (5) ergibt sich:

$$\begin{aligned} \int_{t_a}^{t_b} V_1 dt &= C_1 \cdot [\vartheta_1(t_b) - \vartheta_1(t_a)] \\ &+ \lambda_{10} \cdot \int_{t_a}^{t_b} (\vartheta_1 - \vartheta_0) dt \\ &- \lambda_{12} \cdot (\vartheta_2 - \vartheta_1) dt \\ &- \lambda_{13} \cdot \int_{t_a}^{t_b} (\vartheta_3 - \vartheta_1) dt \end{aligned} \quad (11)$$

$$\begin{aligned} \int_{t_a}^{t_b} V_2 dt &= C_2 \cdot [\vartheta_2(t_b) - \vartheta_2(t_a)] \\ &+ \lambda_{20} \cdot \int_{t_a}^{t_b} (\vartheta_2 - \vartheta_0) dt \\ &+ \lambda_{12} \cdot \int_{t_a}^{t_b} (\vartheta_2 - \vartheta_1) dt \\ &- \lambda_{23} \cdot \int_{t_a}^{t_b} (\vartheta_3 - \vartheta_2) dt \end{aligned} \quad (12)$$

$$\begin{aligned} \int_{t_a}^{t_b} V_3 dt &= C_3 \cdot [\vartheta_3(t_b) - \vartheta_3(t_a)] \\ &+ \lambda_{30} \cdot \int_{t_a}^{t_b} (\vartheta_3 - \vartheta_0) dt \\ &+ \lambda_{13} \cdot \int_{t_a}^{t_b} (\vartheta_3 - \vartheta_1) dt \\ &+ \lambda_{23} \cdot \int_{t_a}^{t_b} (\vartheta_3 - \vartheta_2) dt \end{aligned} \quad (13)$$

Für endliche Messintervalle  $\Delta t = t_b - t_a$  lassen sich die rechten Seiten der Gleichungen (11) bis (13) aus den während des Erwärmungs-Lernlaufs gespeicherten Temperaturmesswerten numerisch berechnen, ebenso das Integral der Ständerwicklungsverluste  $V_1$  auf der linken Seite der Gleichung (11). Dagegen ist von den beiden Gleichungen (12) und (13) zunächst nur die Summe der Verlustwärmeleistungen  $V_2$  des Läufers und  $V_3$  des Ständerblechpaketes bekannt. Zur notwendigen Aufteilung der spannungsabhängigen Zusatzverluste auf Läufer und Ständer ist der Faktor  $k_2$  der Gleichung (3) ebenfalls durch Lernlauf zu ermitteln. Als Ausgangswert wird zunächst  $k_2 = 0$  gewählt und dafür nach Gl. (3)  $V_{20} = V_2$  und nach Gl. (4)  $V_{30} = V_3$  berechnet. Der Faktor  $k_3$  wird in Übereinstimmung mit [6] eingesetzt.

$$k_3 = 5 \cdot 10^{-3} \sqrt{3} U_N (\cos \varphi_N) / I_N \quad (14)$$

Damit ergeben sich die tatsächlich wirksamen Verluste der Gl. (3) und (4) zu

$$V_2 = V_{20} + k_2 U_h^2 \quad (15)$$

$$V_3 = V_{30} - k_2 U_h^2 \quad (16)$$

Somit lautet die linke Seite der Gl. (12):

$$\int_{t_a}^{t_b} V_2 dt = \int_{t_a}^{t_b} V_{20} dt + k_2 \int_{t_a}^{t_b} U_h^2 dt \quad (17)$$

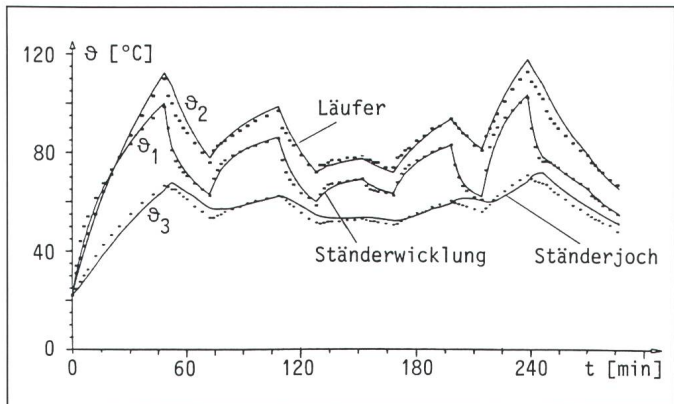
und die linke Seite der Gl. (13):

$$\int_{t_a}^{t_b} V_3 dt = \int_{t_a}^{t_b} V_{30} dt - k_2 \int_{t_a}^{t_b} U_h^2 dt \quad (18)$$

Durch Gleichsetzen der Gl. (17) und (18) mit den Gl. (12) und (13) lassen sich mittels der Temperaturmesswerte die gesamten Elemente  $C_1$  bis  $C_3$ ,  $\lambda_{10}$  bis  $\lambda_{23}$  und  $k_{2U}$  berechnen.

Der sogenannte Lernlauf zur automatischen Ermittlung der Parameter kann im echten Betrieb vor Ort zu beliebiger Zeit und in beliebiger Reihenfolge vorgenommen werden. Aus den mehr oder weniger zufälligen Lastverläufen lassen sich vier typische Phasen unterscheiden, die für die automatische Parameterbestimmung erforderlich sind und wie folgt definiert werden können. Während des als *Phase 1* bezeichneten Zeitraums sollte die zu überwachende Maschine am Netz betriebsnah, d.h. etwa bei Nennspannung und Nennfrequenz ungefähr mit Nennmoment belastet sein, bis sie ihren thermischen Gleichgewichtszustand erreicht hat. In dieser Phase sind alle zur Bestimmung der Größen des

**Figur 7**  
Gerechnete und gemessene Heisspunkttemperaturen eines 4poligen 7-kW-Motors

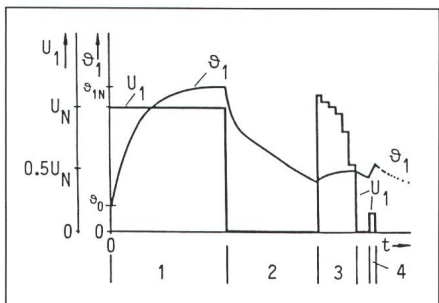


$\theta_1$  berechnete Ständerwicklungstemperaturen  
 $\theta_2$  berechnete Läufertemperaturen  
 $\theta_3$  berechnete Ständerjochtemperaturen  
Punkte: Messwerte  
ausgezogene Linien: berechnete Temperaturen

bei ebenfalls reduzierter Spannung gleich im Zusammenhang mit den Messungen der Phase 3 ausgeführt.

berechneten und durchgehend gezeichneten Temperaturkurven in Läufer- und Ständerwicklung sowie im Joch des Ständerblechpaketes bei Aussetzbetrieb mit wechselnder Lasthöhe für einen 6poligen geschlossenen Drehstromsynchronmotor mit 7 kW Nennleistung dar.

Die Figur 8 zeigt die in einem *Aussetzbetrieb* gemessenen Ständerwicklungstemperaturwerte als Punkte, verglichen mit den aufgrund der im Lernprozess ermittelten Daten und der daraus für diesen Aussetzbetrieb berechneten Kurven (ausgezogene Linien). In diesem Fall handelt es sich um einen polumschaltbaren Motor mit 4-/6poliger Ständerwicklung für 31/21 kW Nennleistung. In Figur 9 sind die entsprechenden Läufertemperaturverläufe angegeben. Die erreichte Genauigkeit liegt mit in der Regel 3 K im Rahmen der üblichen technischen Genauigkeit, die maximalen Abweichungen von 5 K treten selten auf.



**Figur 6** Typische Phasen 1...4 des Lernlaufs

$U_N$  Nennspannung  
 $U_1$  Klemmenspannung  
 $\theta_0$  Umgebungstemperatur  
 $\theta_1$  Temperatur des Ständer-Heisspunktes  
 $\theta_{1N}$  Betriebstemperatur-Nennwert  
 $t$  Zeit

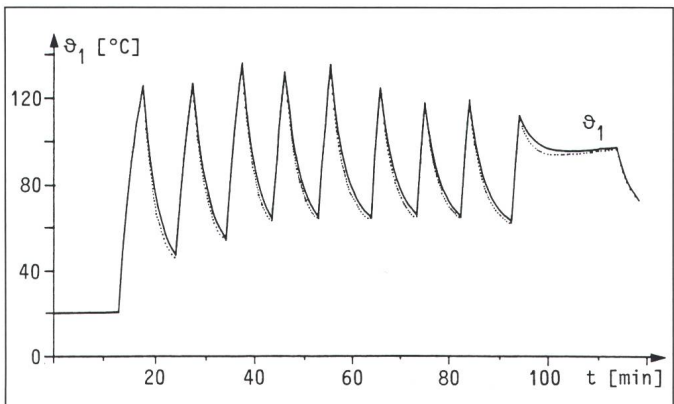
thermischen Ersatzschaltbildes im Betrieb erforderlichen Messungen sowie die zur Verlustleistungs-Parameterberechnung erforderlichen Messungen der Klemmenspannung und der Drehzahl durchzuführen. Die sogenannte *Phase 2* umfasst den Zeitraum nach Abschaltung und Stillsetzung der Maschine im Anschluss an einen Warmlauf zwecks Ermittlung der für Stillstand gültigen Größen der thermischen Ersatzschaltung. *Phase 3* besteht aus Leerlaufversuchen zur Bestimmung des Magnetisierungsstroms sowie der spannungsabhängigen Eisenverluste bei in Stufen verminderter Klemmenspannung. Zweckmässigerweise wird der erforderliche Blockierversuch der *Phase 4* mit Nennstrom

## Ergebnisse

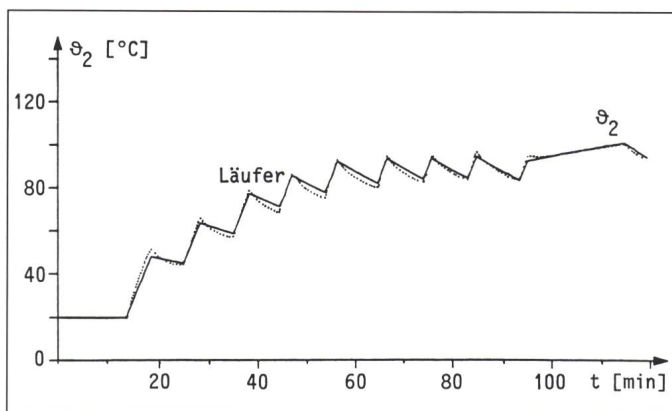
Das beschriebene Temperaturüberwachungsgerät einschliesslich dem Selbstlernteil wurde mit dem 16-bit-Prozessor Intel 8086 (6 MHz) realisiert und zusammen mit listenmässigen Drehstrom-Käfigläufermotoren, die für einen messtechnischen Vergleich zusätzlich mit Temperaturmessgeräten ausgestattet waren, betrieben.

Die Ergebnisse sowohl der automatischen *Selbstlernläufe* als auch der damit errechneten Temperaturverläufe wurden an verschiedenen Drehstrom-Käfigläufermotoren geschlossener Bauart mit Eigenbelüftung durch vergleichende Heisspunkttemperaturnmessungen nachgeprüft. Die Figur 7 stellt den Vergleich der Messpunkte mit den

**Figur 8**  
Ständerwicklungs-temperaturen eines 4-/6poligen Motors für 31/21 kW im Aussetzbetrieb



Punkte: Messwerte  
ausgezogene Linien: berechnete Temperaturen



Punkte: Messwerte  
ausgezogene Linien: berechnete Temperaturen

**Figur 9**  
Läufertemperaturen  
bei Aussetzbetrieb  
wie Figur 8

teile bietet dieses System bei den erhöhten Sicherheitsanforderungen wie Eigensicherheit des Schutzkreises bei Aufstellung und Betrieb der Motoren in explosionsgefährdeter Umgebung. Das System erreicht eine gute Genauigkeit, liegen doch die Abweichungen zwischen den mit diesem System simulierten Heisspunkttemperaturen und den zum Vergleich gemessenen Werten in der Regel um 3 K und erreichen selten 5 K.

## Zusammenfassung

Mikrorechner – im vorliegenden Fall ein 16-bit-Rechner auf der Basis eines Prozessors Intel 8086 (6 MHz) – bieten bislang ungeahnte Möglichkeiten zur Überwachung, Schutz, Steuerung usw. moderner elektrischer Antriebssysteme. Als Beispiel wird ein neu entwickeltes System zur laufenden Ermittlung der aktuellen Heisspunkttemperaturen in elektrischen Maschinen beschrieben, das im Betrieb ohne – in die Motoren eingebaute – Temperaturfühler arbeitet. Diese werden ledig-

lich für neue Maschinentypen mit noch nicht bekannten Daten für eine kurze Lernphase benötigt. Der entscheidende Vorteil besteht darin, dass auf diese Fühler im anschliessenden praktischen Betrieb vollständig verzichtet werden kann: Das Überwachungs- und Schutzsystem benötigt lediglich die Klemmengrößen wie Spannung und Strom nach Betrag und Phasenlage. Dies ist von grossem Vorteil z.B. beim häufigen Umsetzen der Motoren und den oft damit verbundenen Beschädigungen der Thermoführerzuleitungen. Ebenfalls grosse Vor-

## Literatur

- [1] Leonhard, A.: Elektrische Antriebe. 2. Auflage. Stuttgart, Ferdinand Enke Verlag, 1959.
- [2] Leonhard, A.: Die selbsttätige Regelung. 3. Auflage, Berlin/Göttingen/Heidelberg, Springer Verlag, 1962.
- [3] Schröter, M.: Hochtouriger bürstenloser Positionierantrieb mit extrem geringer Momentenwelligkeit. Dissertation der Universität Stuttgart/Institut für Elektrische Maschinen und Antriebe, 1986.
- [4a] Elektrische Betriebsmittel für explosionsgefährdete Bereiche. Allgemeine Bestimmungen. SEV-EN 50014, 1978.
- [4b] Elektrische Betriebsmittel für explosionsgefährdete Bereiche. Besondere Bestimmungen für die Zündschutzart erhöhte Sicherheit «». SEV-EN 50019, 1978.
- [5] Zeller, T.: «Echtzeit-Temperatursimulation von Käfigläufermaschinen mit selbsttätiger Parameteranpassung». Dissertation der Universität Stuttgart/Institut für Elektrische Maschinen und Antriebe, 1988.
- [6] Umlaufende elektrische Maschinen. Ermittlung der Verluste und des Wirkungsgrades. DIN 57 530 Teil 2 / VDE 0530 Teil 2/11.82.



**ERNI**

# SÉCURITÉ

Les obstacles situés à proximité des voies aériennes représentent un **danger permanent** pour la navigation aérienne!

Un choix important en aides visuelles pour le marquage des obstacles est offert par ERNI:

- Feux d'obstacle OBSTA H.I. basse intensité à grand rendement pour bâtiments en zones dangereuses fonctionnant en continu ou intermittent
- Feux d'obstacle BALISOR à basse intensité pour les câbles des lignes haute tension
- Sphères pour le marquage diurne des câbles des lignes haute tension

Tous les produits sont conformes aux normes et pratiques recommandées par l'Organisation de l'Aviation Civile Internationale OACI.

**ERNI + CO. AG** Stationsstrasse 31, CH-8306 Brüttisellen Tel. 01/835 35 35, Fax 01/833 49 66, Tlx 827 333

## Energieversorgungsnetze interaktiv planen

### POSCODAM®

Das interaktive Programmsystem Poscodam® (Power System Computation and Data Management) für Personal Computer bewährt sich bereits auf über fünfzig installierten Anlagen:

- Netzdatenverwaltung mit Elementdatenbank
- Kurzschlussberechnung nach VDE 0102/IEC 909 oder mit dem Überlagerungsverfahren
- Graphische Eingabe und Ausgabe von Netzplänen (GKS)
- Lastfluss- und Ausfallrechnung



ASEA BROWN BOVERI AG, Geschäftsbereich Netztechnik, Abt. ELV-TN, 5300 Turgi  
Tel. 056 29 20 84 / 29 27 32, Telefax 056 28 26 70, Telex 828 291 52